

УДК 546.05.01.03

ХИМИЯ

Член-корреспондент АН СССР Г. Б. БОКИЙ, Г. И. ГОНЧАРЕНКО,
Г. Г. ДВОРЯНКИНА, В. И. КОВАЛЕВ, В. Я. ШЕВЧЕНКО

СВОЙСТВА β -ФАЗЫ АРСЕНИДА КАДМИЯ

В работе ⁽¹⁾ было впервые указано на существование трех полиморфных превращений в арсениде кадмия при температурах 230°, 465° и 595° С. Кроме того в ⁽²⁾ отмечены некоторые особенности температурных зависимостей постоянной Холла и удельного сопротивления при ~230° С. Однако данные ⁽¹⁾ до сих пор не подтверждены результатами других авторов (например, ⁽³⁾), и вопросы, связанные с полиморфизмом Cd₃As₂ при высоких температурах, остаются нерешенными. Анализ большого числа литературных данных показывает, что имеются серьезные отличия в параметрах кристаллической решетки и в электрических свойствах (даже для одной и той же фазы), что связано, по нашему мнению, прежде всего со способом получения материала (см. табл. 1). Это означает, вероятно, что Cd₃As₂ является нестехиометрическим соединением и имеет широкую область гомогенности. Возможно, также, что стабильность различных фаз Cd₃As₂ при комнатных температурах определяется степенью выполнения стехиометрических соотношений. Из вышесказанного следует, что исследованиям полупроводниковых свойств Cd₃As₂ должны предшествовать тщательные рентгеноструктурные и физико-химические исследования.

Наиболее достоверно установлено наличие полиморфного превращения $\alpha\text{-Cd}_3\text{As}_2 \rightarrow \beta\text{-Cd}_3\text{As}_2$ при температурах порядка 595° С, тем не менее до

Таблица 1
Свойства Cd₃As₂

| Метод получения | Параметры решетки, Å | Электрические свойства | Источник |
|---|--|---|------------|
| Порошок получен при ~700° С Исходные Cd и As в стехиометрических количествах выдерживались при 610° С 2 часа. Из этого материала изготовлены пленки испарением в вакууме | $a = 6,29$ — | $\varepsilon g_{\text{эл}} = 0,14$ эв $\varepsilon g_{\text{опт}} = 0,49$ эв (90° К) | (4) (5) |
| Монокристаллы получены методом Чохральского. Пленки приготовлены испарением в вакууме | — | $n = 2 \cdot 10^{18} \text{ см}^{-3}$ $\varepsilon g_{\text{опт}} = 0,5$ эв (на пленках) $R\sigma_{4,2^\circ \text{ К}} = 5 \cdot 10^4 \text{ см}^2/\text{в.сек}$ $R\sigma_{300^\circ \text{ К}} = 1 \cdot 10^4 \text{ см}^2/\text{в.сек}$ | (7) |
| Из газовой фазы | $a = 8,945 \pm 0,05$ $c = 12,65 \pm 0,08$ | — | (8) |
| Из газовой фазы. Затем отжиг при 500° С в течение 8 суток | $a = 12,650$ $c = 25,446$ | $n\text{-тип}$ $\varepsilon g_{\text{эл}} = 0,14$ эв $n = 2 \cdot 10^{18} - 5 \cdot 10^{19} \text{ см}^{-3}$ | (9) |
| Сплавлялись стехиометрические количества Cd и As при 800° С и охлаждались до комнатной температуры | $a = 12,654 \pm 0,002$ $c = 25,458 \pm 0,004$ | $\varepsilon g_{\text{эл}} = 0,14$ эв | (10) |
| Стехиометрические количества Cd и As нагреты в вакууме при 675° С в течение 18 час., затем при 850° С 1 часа и закалены | $a = 12,67 \pm 0,01$ $c = 25,48 \pm 0,02$ | — | (9) |
| Из газовой фазы | $a = 12,58$ $c = 25,29$ | $n\text{- и } p\text{-тип}$ $\varepsilon g_{\text{эл}} = 0,45$ эв (n -тип) $\varepsilon g_{\text{эл}} = 0,2$ эв (p -тип) | (11) |

настоящего времени не были известны свойства $\beta\text{-Cd}_3\text{As}_2$. При получении Cd_3As_2 из газовой фазы в закрытом объеме при температурах выше 600°C удалось получить крупные образцы $\beta\text{-Cd}_3\text{As}_2$ из материала, осажденного на холодной части ампулы *. Наличие β -фазы было подтверждено рентгеновским анализом. Дифрактограмма от порошка полученного материала хорошо индицировалась в кубической гранецентрированной решетке с периодом $a = 6,05 \text{ \AA}$. В табл. 2 приведено сравнение экспериментальных и вычисленных межплоскостных расстояний для этой решетки. Отметим, что полученное нами значение периода решетки несколько отличается от данных (1, 4) ($6,29$ и $6,39 \text{ \AA}$ соответственно).

Был проведен химический анализ на стехиометрию полученного материала (табл. 3)

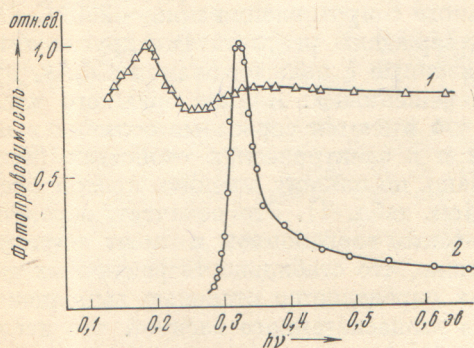


Рис. 1

Рис. 1. Спектральная зависимость фотопроводимости для образцов α -фазы (1) и β -фазы (2) арсенида кадмия при 300°K

Рис. 2. Спектральное распределение оптического поглощения в β -фазе арсенида кадмия при 300°K

и металлографические исследования. Все полученные образцы представляли собой однофазные, крупноблочные кристаллы, достаточно однородные по электрическим параметрам. Для сравнения, по методике, предложен-

Таблица 2

Сравнение экспериментальных и вычисленных межплоскостных расстояний для $\beta\text{-Cd}_3\text{As}_2$

| hkl | $d_{\text{выч.}}$ \AA | $d_{\text{эксп.}}$ \AA | Интен- сивн. | hkl | $d_{\text{выч.}}$ \AA | $d_{\text{эксп.}}$ \AA | Интен- сивн. |
|-------|-----------------------------------|------------------------------------|-----------------|-------|-----------------------------------|------------------------------------|-----------------|
| 111 | 3,493 | 3,490 | О. с. | 531 | 1,022 | 1,020 | Ср. |
| 200 | 3,025 | 3,025 | О. о. сл. | 600 | 1,009 | — | — |
| | | | | 442 | | | |
| 220 | 2,140 | 2,137 | О. о. с. | 620 | 0,957 | 0,956 | Ср. сл. |
| 311 | 1,823 | 1,822 | О. с. | 533 | 0,922 | 0,922 | Сл. |
| 222 | 1,748 | — | — | 622 | 0,912 | — | — |
| 400 | 1,512 | 1,510 | Сл. | 444 | 0,873 | 0,874 | О. сл. |
| 331 | 1,390 | 1,383 | Ср. с. | 551 | 0,846 | 0,847 | Ср. сл. |
| | | | | 741 | | | |
| 420 | 1,354 | — | — | 640 | 0,840 | — | — |
| 422 | 1,232 | 1,234 | С. | 642 | 0,807 | 0,807 | Ср. с. |
| 511 | 1,163 | 1,170 | Ср. сл. | 553 | 0,787 | 0,788 | Ср. с. |
| 333 | — | — | — | 731 | | | |
| 440 | 1,071 | 1,071 | Сл. | | | | |

женной в (5), были получены образцы α -фазы Cd_3As_2 . Рентгеноструктурный анализ этих образцов показал, что они имеют тетрагональную ячейку с параметрами $a = 12,58 \text{ \AA}$, $c = 25,29 \text{ \AA}$ (пространственная группа C_{4v}^{12} — $Iacd$). Результаты других исследований приведены в табл. 3.

* Такой способ получения Cd_3As_2 был предложен нам Т. А. Зюбиной.

Одним из основных вопросов нашего исследования являлось определение ширины запрещенной зоны обеих фаз Cd_3As_2 , так как именно по этим данным имеются значительные расхождения в литературе. С этой целью были проведены измерения температурной зависимости постоянной Холла, исследование фотоэлектрических и оптических свойств образцов α - и β -фаз.

Измерения спектров фотопроводимости были выполнены при комнатной температуре с использованием трансформатора с низкоомным входом и резонансного усилителя с синхронным детектированием. Частота модуляции светового пучка составляла 12,5 Гц. Для фотоэлектрических и оптических измерений использовались образцы размерами $0,6 \times 2 \times 10$ мм. Однородность образцов β -фазы проверялась по изменению спектра оптического пропускания при сканировании светового пучка по длине образца. Характер спектра и коэффициент пропускания существенно не менялись. На рис. 1 представлены спектральные зависимости фотопроводимости образцов α - и β -фаз, приведенные к постоянной падающей мощности на единицу длины волны (с помощью никелевого болометра). Малая концентрация электронов проводимости в образцах β -фазы позволила измерить оптическое пропускание образца толщиной 0,66 мм. Зависимость коэффициента поглощения от энергии фотона показана на рис. 2. В области 0,3 эв наблюдается резкое увеличение коэффициента поглощения, обусловленное, по-видимому, прямыми собственными переходами. Увеличение коэффициента поглощения при уменьшении энергии фотона, объясняется, вероятно, поглощением на свободных носителях. Определенная из фотопроводимости (по 50% спаду) и из измерений оптического поглощения ширина запрещенной зоны β -фазы Cd_3As_2 при комнатной температуре составляет 0,31 эв (4μ).

Из измерений температурной зависимости постоянной Холла в области собственной проводимости, проведенных по ранее описанной методике⁽²⁾, получена величина ширины запрещенной зоны (аппроксимированной к 0°К) 0,52 эв для β -фазы и 0,135 эв для α -фазы (рис. 3). Оценка ширины запрещенной зоны по максимуму фотопроводимости при 80 и 300°К для β -фазы

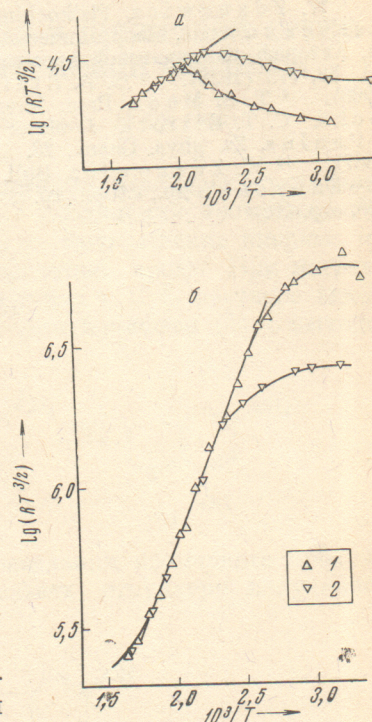


Рис. 3. Температурные зависимости постоянной Холла для α -фазы (а) и β -фазы (б) Cd_3As_2 , представленные в координатах $lg(RT^{3/2}) = f(10^3/T)$. 1 — нагревание, 2 — охлаждение

Таблица 3

Свойства α - и β -фазы Cd_3As_2

| Фаза | Стехиометрич. состав образца, ат. % | Тип проводимости | Концентрация электронов, см ⁻³ | | Подвижность, см ² /в·сек | | Ширина запрещенной зоны, эв | |
|----------------|-------------------------------------|------------------|---|---------------------|-------------------------------------|------------------|---------------------------------|--------|
| | | | при 4,2°К | при 300°К | при 4,2°К | при 300°К | электр. | оптич. |
| α -фаза | 60,0 Cd 40,0 As | n | $1,05 \cdot 10^{18}$ | $1,1 \cdot 10^{18}$ | 10^5 | $1,5 \cdot 10^4$ | 0,135 (0°К) 0,56 (0°К) | — |
| β -фаза | 58,5 Cd 41,5 As | n | $3 \cdot 10^{15}$ | $6 \cdot 10^{15}$ | $6 \cdot 10^3$ | $2 \cdot 10^3$ | 0,31 (300°К) | |

зы дает значение 0,51 и 0,33 эв соответственно, и в предположении линейного изменения с температурой ($\alpha \simeq -8,5 \cdot 10^{-4}$ эв / град) хорошо согласуется с данными электрических измерений.

Институт радиотехники и электроники
Академии наук СССР
Москва

Поступило
16 VII 1970

ЦИТИРОВАННАЯ ЛИТЕРАТУРА

- ¹ W. Zdanowicz, *Fizikochemia ciala stałego*, Warszawa, 1967, S. 77. ² В. Я. Шевченко и др., Неорганические материалы, 5, 11, 2015 (1969). ³ М. Касымова, Автореф. кандидатской диссертации, М., 1969. ⁴ L. Passerini, *Gazetta chim. ital.*, 58, 775 (1928). ⁵ G. A. Steigman, J. Goodyear, *Acta crystallogr.*, 24, 1062 (1968). ⁶ T. S. Moos, *Proc. Phys. Soc.*, London, 63, 167 (1950). ⁷ S. E. R. Hiscock, C. T. Elliott, *J. Mater. Sci.*, 4, 784 (1969). ⁸ M. V. Stackelberg, R. Paulus, *Zs. phys. Chem.*, 28, 429 (1935). ⁹ N. Sexeg, *Phys. Stat. Sol.*, 21, 225 (1967). ¹⁰ W. Zdanowicz, *Bull. acad. Pol. Ser. chim.*, 12, 3, 169 (1964). ¹¹ К. Б. Алейникова и др., Сборн. тр. по полупроводн. матер. и их применению, Воронеж, 1968, стр. 49.